

# 反復画像演算による重なり合った棒状パターンの解析

## 坂上勝彦・高木幹雄（東大生研）

### 1.はじめに

複数個の棒状(細長い長方形状)物体が集まつた画像はいろいろな分野、特に工業的な分野においてしばしば研究の対象となっている。この場合、互いに重なり合ったそれぞれの物体を分離同定し特に長さと向きを測定する必要があることが多い。図1、図2にこのような画像の例を示す。どちらもスキャナを使って写真をデジタル化したものである。

図1は鋼纖維補強コンクリートX線画像である。鋼纖維補強コンクリートとは、強度改善を図るために短い鋼纖維をランダムに分散させたコンクリートである。この場合、コンクリートの性質に影響を及ぼす重要な要因の一つである配向係数を測定する必要があり、各棒状鋼纖維の長さ及び向きが「たとえ重なり合っていだとしても測定できなくてはいけない」。

図2は直径4mmの発泡スチロール球をトレーサ粒子として表面浮遊法で円柱まわりの流れ場を可視化したものである。流れのベクトルを求めるためには棒状のトレーザ像の長さ及び向きを測定する手順がある。

どちらの例でも1枚の画像を処理するだけならば人間がマニュアルで測定すればよいが、大量の画像を扱って有意なデータを得るためにには計算機による自動計測が必要となる。また、流れの可視化の例ではトレーザ数を少なくすることによってほとんど重なり合はない画像を作ることもできる。<sup>[2]</sup>しかしこれは2次元的に非常に粗いベクトルデータを得ることができず、ある程度の重なりがあるても個々のトレーザ像(棒状物体)を分離して測定することができる手法の開発が望まれる。

この種の画像に対する計算機処理例は極めて少なく、その手法はほとんど確立されていない。解析の手法としては、従来以下のようなものに考えられている。

- (1) 2値画像を作り、細線化することによって端点、交叉点などを求めたり、細線に沿って追跡を行なう方法。<sup>[3]</sup>
- (2) 線強調オペレータを施し、出力画像の尾根をまっすぐに追跡する方法。<sup>[4]</sup>
- (3) Hough変換<sup>[5]</sup>などの直線検出オペレータを使う方法。
- (4) グラフ理論を使う方法。<sup>[6]</sup>

(1)に関しては、パルフ<sup>6</sup>の纖維(まっすぐとは限らない)画像を細線化し、得られた線図形を曲率のためらかな方向に追跡する手法が文献<sup>[3]</sup>で報告されている。図3に鋼纖維像に対する細線化(Hilditchの方法<sup>[7]</sup>を採用)の結果を示す。この像は3本の鋼纖維が集まつたものであるが、細線化によって細かい情報が失わ

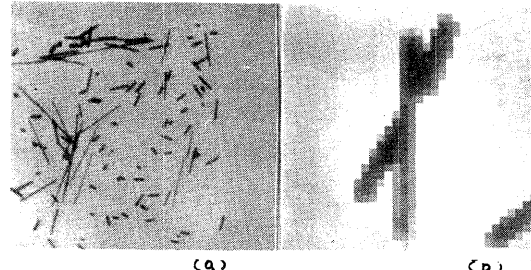


図1. 重なり合った棒状物体像の例。(鋼纖維補強コンクリートX線像)  
(a): 全体像 (256×256, 8bit), (b): (a)の一部を切り出したもの。

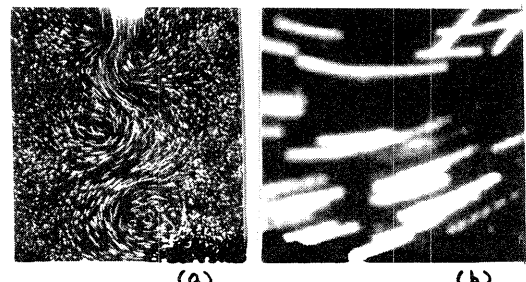


図2. 重なり合った棒状物体像の例。(流れの可視化画像)  
(a): 全体像, (b): 拡大像 (128×128, 8bit)

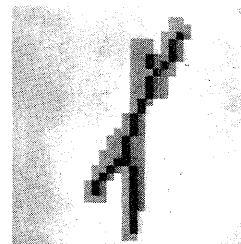


図3. 細線化画像の例。

- 灰色部は図(b)の塊をしきい値200で2倍化(200以下を"1")して切り出したもの。
- 黒色部は切2倍画像を細線化したもの。

これほっており、この手法は棒状物体像に対しては有効でないと思われる。

(2)の手法は鋼纖維像に対して実際によく使われている。<sup>[4]</sup>しかし、デジタル画像において尾根を「まっすぐ」追跡するという操作は容易ではなく、複雑なロジックを必要とする。

(1), (2)とも棒の心線を追跡する手法であるが、どちらにあっても追跡を終了させるか続けるか、判定が難しく、微妙なしきい値の調整が必要となり、複雑な重なり方をした場合に安定した処理結果が得られないと考えられる。

(3)のHough変換は十分長い直線が、しかもパラメータ空間(P, θ)上で十分に離れて何本も存在する場合(たとえば田畠の境界)

線のよう)にのみ有効な手法である。図1のように線分が複雑に重なり合った画像に対して効果がないことは明らかであろう。

(4)は輪郭点同士を線分で結び、その線分が图形の外部にはみ出るかどうかを調べ、グラフ理論を使って单纯な形状の物体を分割する手法である<sup>[6]</sup>しかしこれは細い棒状物体という特徴を利用していないため、図1や図2に応用しても成功しないであろう。

本稿では、繰返し演算(あるいは反復画像演算)を利用して手法を提案する。各輪郭点に割当てた棒状物体についてのモデル(輪郭上にある画素の座標、心線の方程式、棒の両端の座標)の初期値を繰返し演算によって更新していく、収束した時点で「クラスタクリク」して分離するのである。初期値に存在していた「あいまい性」は繰返しを進めるにつれて次第に削除され、局的につけつまとの合うモデルに収束する。よって図1(b)のように線幅が2画素のないような量子化誤差の大きいデータに対しても良好な結果を得ることができると期待できる。また、同じ大きい値やパラメータでいろいろな重なり方のデータに対し処理が可能であると思われる。

重なり合った「柱子像」の分離に対する繰返し演算の適用についてはすでに報告した<sup>[8]</sup>これは本稿で用いる繰返し演算と全く同種のものであり、モデルが円か長方形の違いだけである。

## 2. 处理手順

処理手順は次の三つの段階から成立している。

- ① 微分処理
- ② 初期値の割当て
- ③ 繰返しプロセス

本章ではそれぞれの段階について、図1(b)の塊に対する処理結果を示しながら解説する。

### 2-1. 微分処理

まず原画像から棒状物体の輪郭点と思われる画素を抽出する。処理は次の二つの手順で行なわれる。

#### (1) マスクの作成

対象物を完全に包含し、しかも不要な部分を処理しないためのマスクを準備する。マスクは原画像を2値化し、注目している塊に該当する連結領域を選び出し、さらに膨張処理(dilation)を2回施すことによって作成した。図4は、図1(b)の塊を処理するためのマスクである。

#### (2) マスク内微分

マスク内で微分処理を行なう。微分オペレータとしては、Robinsonのオペレータ<sup>[9]</sup>を使いた。これは図5のような方向

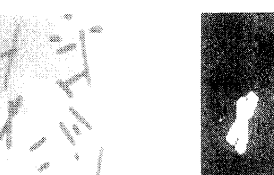


図4. マスクの例

性を持つ8種類の $3 \times 3$ マトリクス

-1 0 1	-2 -1 0	-1 -2 -1	0 -1 -2
-2 0 2	-1 0 1	0 0 0	1 0 -1
0 1 2	1 2 1	2 1 0	
1 2 1	0 1 2	1 0 -1	
0 1 2	-1 0 1	-2 -1 0	
-1 0 -1	2 1 0	1 2 1	0 1 2
2 0 -2	0 0 0	-1 -2 -1	-1 0 1
0 -1 -2	-1 -2 -1	-2 -1 0	

を使い、最も大きな出力の値を得たパラメータの方向をクラ

ジメントの方向、その出力値を振幅とするものである。

ただし鋼鐵維像のように対象物が背景より暗い場合は、パラメータ1の「う」字方向は左、パラメータ2は左上として常に対象物の内部を向く方向をクラジメントの方向と考えることにする。

#### (3) 輪郭点抽出

微分出力が最大値の半分以上の値を持つ画素を輪郭点として図6から抽出する。つまり次節で述べる初期確率が0.5以上のものを選ぶことになる。図7が抽出された輪郭点である。並15についてば2-3倍で角がある。

### 2-2. 初期値の割当て

各輪郭点は、それが属する棒状物体についてのモデルとして次の二つのパラメータを持つ。

- (1)  $(X_i, Y_i)$  : 輪郭点*i*の座標。
- (2)  $(P_i, \theta_i)$  : 輪郭点*i*が属していると思われる棒状物体の心線の方程式。
- (3)  $(X_{i1}, Y_{i1}), (X_{i2}, Y_{i2})$  : 輪郭点*i*が属していると思われる棒状物体の両端の座標。

付随するパラメータとして  $D_i$ ,  $(X_{si}, Y_{si})$  を以下のように定義する。

$D_i$  :  $(X_i, Y_i)$  と直線  $(P_i, \theta_i)$  の距離。

$(X_{st}, Y_{st})$  :  $(X_i, Y_i)$  から直線  $(P_i, \theta_i)$  へ下した垂線の足。

さらに確率  $P_i$  を持つ。

$P_i$  : 輪郭点*i*に割当てられたモデルが正しいものである確率 ( $0 \leq P_i \leq 1$ )。

本段階で既にこれらのパラメータの初期値が計算され割当てられる。以下、上書き添字<sup>(0)</sup>は初期値を示すものとする。 $(X_i^{(0)}, Y_i^{(0)})$  は、抽出した輪郭点の座標のものである。

$D_i^{(0)}$  は対象物に関する知識を使って人間が設定するようにした。最も細い棒状物体像の幅の半分程度の値を使えばよい。他の各初期値は次のようにして求める。

$(P_i^{(0)}, \theta_i^{(0)})$  : 心線の方向はその近傍画素の微分値を調べることによって決定される。図8にその手順を示す。IEPは、その画素に

-1 0 1	-2 -1 0	-1 -2 -1	0 -1 -2
-2 0 2	-1 0 1	0 0 0	1 0 -1
0 1 2	1 2 1	2 1 0	
1 2 1	0 1 2	1 0 -1	
0 1 2	-1 0 1	-2 -1 0	
-1 0 -1	2 1 0	1 2 1	0 1 2
2 0 -2	0 0 0	-1 -2 -1	-1 0 1
0 -1 -2	-1 -2 -1	-2 -1 0	

図5. Robinsonのオペレータ

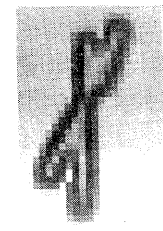


図6. 微分オペレーター

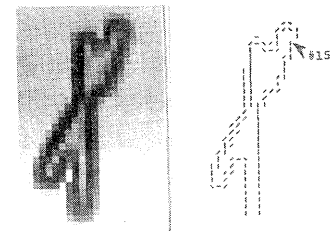


図7. 抽出した輪郭点

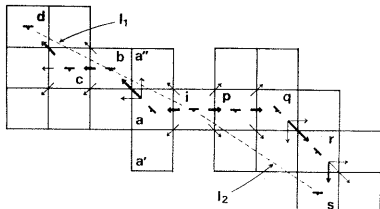


図8. 心線の方向の求め方

いる点*i*を始点として微分画像(振幅方向)上でエッジを4画素分リンクすることによって得た点である。左側にリンクする場合は点*i*から始めてまずエッジがつながっていようと想われる3点*a, a', a''*を調べる。3点のうちアラジントの振幅値がどの値に最も近いものを選ぶ(同じ値の場合は*a, a', a''*順に選ぶ)。図8の場合には*a*である。さらに*a*を始点として同じ処理によって*b*にリンクし、最終的に*d*に達する。同様に右方向へも*i*→*p*→*q*→*r*とリンクする。

次に、それぞれリンクした各点の直線*l<sub>1</sub>*, *l<sub>2</sub>*(*l<sub>1</sub>*は*i*と*d*, *l<sub>2</sub>*は*i*と*s*をそれぞれ結ぶ直線)に対する分散を調べる。すなわち*l<sub>1</sub>*については*a, b, c*との距離の2乗の和, *l<sub>2</sub>*については*p, q, r*との距離の2乗の和を計算する。この値の小さい方が正に棒状物体の長辺に沿った点列であると考えられるから、分散の小さくなる直線*l<sub>1</sub>*が属する棒状物体の心線とは平行であるみなすことができる。図8の例では、*l<sub>1</sub>*が選ばれる。この直線を*D<sub>i</sub><sup>(o)</sup>*だと*i*から棒状物体の内部方向へ平行移動させた直線が(*P<sub>i</sub><sup>(o)</sup>, θ<sub>i</sub><sup>(o)</sup>*)である。

(*X<sub>ii</sub><sup>(o)</sup>, Y<sub>ii</sub><sup>(o)</sup>*, (*X<sub>zi</sub><sup>(o)</sup>, Y<sub>zi</sub><sup>(o)</sup>*), (*X<sub>2i</sub><sup>(o)</sup>, Y<sub>2i</sub><sup>(o)</sup>*)): 棒の両端座標の初期値は図9のようにして求める。*S*は*i*から心線(*P<sub>i</sub><sup>(o)</sup>, θ<sub>i</sub><sup>(o)</sup>*)に下した垂線の足、*A, B*は*S*から心線と直角の方向に*D<sub>i</sub><sup>(o)</sup>*-*e*だけ離れた2点である。この3点*A, S, B*を直線(*P<sub>i</sub><sup>(o)</sup>, θ<sub>i</sub><sup>(o)</sup>*)に沿って動かし、1点でも輪郭を定めるしきい値*B<sub>th</sub>*にひっかかれれば、そのときの*S*の位置を棒の端の座標とする。ただし、鋼鐵維像では濃淡レベルが*B<sub>th</sub>*以下なら、トレーサ像では*B<sub>th</sub>*以上なら棒状物体の内部であるとする。*D<sub>i</sub><sup>(o)</sup>, e, B<sub>th</sub>*は以下のように定めた。

鋼鐵維像		トレーサ像	
<i>D<sub>i</sub><sup>(o)</sup></i>	1	2	(画素)
<i>e</i>	0.5	1	
<i>B<sub>th</sub></i>	200	100	

なお、点*A, S, B*の座標は一般には実数値となる。この場合は近傍4点の濃淡レベルから線形補間で求める。

*P<sub>i</sub><sup>(o)</sup>*: 確率は、初期値の段階では画素*i*におけるアラジントの振幅*Mag(i)*に比例すると考えられる。よって次式を使って*P<sub>i</sub><sup>(o)</sup>*を

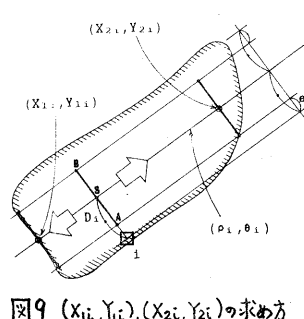


図9. (*X<sub>ii</sub>, Y<sub>ii</sub>*), (*X<sub>zi</sub>, Y<sub>zi</sub>*)の求め方

定義する。

$$P_i^{(o)} = \text{Mag}(i) / \max \{ \text{Mag}(j) \} \quad (1)$$

なお、図9で点*ASB*のどれかが心線に沿って動かす前に棒状物体の内部からはずれてしまうようなことがあれば、*P<sub>i</sub><sup>(o)</sup>*=0とする。

図10に初期値の分布を示す。しきい値*B<sub>th</sub>*によって定まる鋼鐵維の形状は灰色で表示した。これを見ると特に左下の鋼鐵維に開拓初期値はかなり大きくばらついている。また逆に、下に伸びている纖維の初期値は正くない位置にそろってしまっている。本当ならやや傾かないはずである。

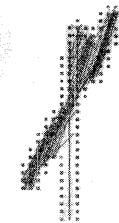


図10. 初期値の分布

- : (*X<sub>i</sub>, Y<sub>i</sub>*)
- : 線分(*X<sub>ii</sub>, Y<sub>ii</sub>*), (*X<sub>zi</sub>, Y<sub>zi</sub>*)
- : それが *P<sub>i</sub><sup>(o)</sup>* が大きくなるように表示してある。

### 2-3. 繰返しプロセス

本段階では前段階で準備された初期値が線返し演算によって収束する。以下、*Rij*の定義、*Qth*の決定法、更新手順、収束の様子、クラスタリングと順を追って解説する。

#### 2-3-1. *Rij*の定義

まず適合係数 *Rij* を 図11で定義される *Rdij*, *Rsij* を使って式(2)のように定義する。

$$Rij = Rdij \times Rsij \quad (2)$$

*Rij*は0から1までの実数値を持ち、大きいほど *i* と *j* は同じ棒状物体上にある可能性が強く、小さいほど可能性が少なし。ただし *i* と *j* が 図12(a)(b)(c) の位置関係にあるときのみ *Rsij* は値を持ち、それ以外の場合 *Rsij*=0 である。図

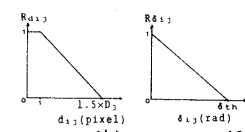
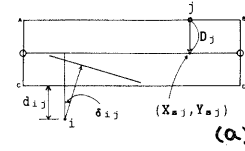


図11. 係数 *Rdij*, *Rsij*  
(a): *dij* × *delta\_ij*  
(b): *Rdij*, (c): *Rsij*

11(c)の *delta\_ij* は図12の3つの場合で、それぞれ異なる値が使われる。

図11(a)で示した長方形ABDCは輪郭点、*j*の持つモデルが記述する長方形である。もし *i* が正確に *j* と同じ棒状物体上にあるならば、*i* は長辺AB上かCD上に存在するであろう。また *i* から *j* に割当された心

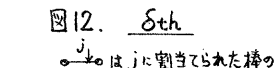
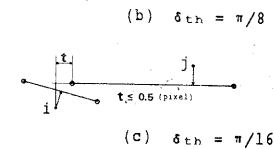
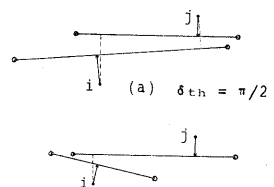


図12. *delta\_ij*  
*j* は *j* に割当された棒の両端座標を結ぶ線分。

線に下した垂線と、 $i$ から $j$ に割きられた心線へ下した垂線は同じ方向を向いているであろう。このような状態からの誤差を図11のように  $d_{ij}$ ,  $\delta_{ij}$  で表す。

$d_{ij}$ ,  $\delta_{ij}$  から図11(b)(c)のようにして  $Rd_{ij}$ ,  $Rs_{ij}$  を求める。 $Rd_{ij}$  は  $i$  と  $j$  の位置に関する適合度数,  $Rs_{ij}$  は心線の向きに関する適合度数と言える。位置の誤差はかなり広く許容するようにしてある。量子化誤差を考慮して  $d_{ij}$  が 1 以下ならば  $Rd_{ij} = 1$  となるようにした。また、 $d_{ij}$  が  $1.5 \times D_j$  以上にならないと  $Rd_{ij}$  は 0 にならない。

$\delta_{ij}$  に関するしきい値  $\delta_{th}$  は図12に示すように  $i$  と  $j$  の位置関係によってランク付けした。(a) は  $i$  と  $j$  が互いに相手の心線に下した垂線の足が、それが両端の内側に収まる場合である。このときは、 $i$  と  $j$  が同じ棒状物体上にある可能性が極めて高い。よって  $\delta_{th} = \pi/2$  として条件を緩くした。(b), (c) ではこの可能性が薄れると考えられるから、これに応じて  $\delta_{th}$  を厳しくしたのである。これ以外の場合には  $Rs_{ij} = 0$  となり、 $i$  と  $j$  は同じ棒状物体に含まれる可能性はないといみなされる。

棒状物体という細長い物体が対象であるため、距離的に近い  $i$  と  $j$  間の相互関係だけではなくそのモデルを正確な形に更新することは不可能である。よって、より広い範囲から  $i$  の同族を探してくる必要がある。しかし反面、不必要に同族を集めて更新を行なうと間違いが生じる。そこで図12のように位置関係によってランク付けを行ない、位置的に同族性の可能性が低い場合は条件が厳しくなるようにしたのである。

### 2-3-2. $Q_{th}$ の決定法

$P_j$  を考慮に入れて次の  $Q_{ij}$  を定義する。

$$Q_{ij} = P_j \times R_{ij} \quad (3)$$

注目している点  $i$  に対し  $Q_{ij}$  があるしきい値  $Q_{th}$  より大きくなる  $j$  を選び出し、それを使って  $i$  に割きられたモデルを更新すれば、そのモデルは大局的に見てよりつじの合う形に変わることになる。このうち  $j$  の集合を  $J$  とする。すなち  $J = \{j \mid Q_{ij} > Q_{th}\}$ 。もちろん  $J$  は  $i$  によって異なる。 $Q_{th}$  はすべての  $j$  について  $Q_{ij}$  を計算し、そのヒストグラムを使って決定される。このヒストグラムは図13のようになると思われる。自分もと同じ棒状物体に属する  $j$  によるピークが  $Q_{ij} = 1$  に近い部分にでき、他の物体によるピークがそれと並んで存在する。

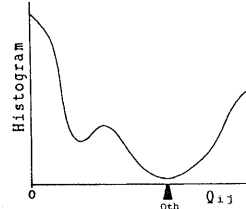


図13. 典型的な  $Q_{ij}$  のヒストグラム

である。 $J$  に対しては  $i$  と同じ棒状物体に属するものを選び出さなくてはいけないから、 $Q_{th}$  は図13のように  $Q_{ij}=1$  に近いピーカーだけを切り出すものでなくてはいけない。

$Q_{th}$  は図14のようにしてヒストグラムから自動的に決定される。方法は、 $Q_{ij}=1$  を含むスロットから順に調べて、1度谷になってから再び山を登り始める直前のスロットを中央値を谷の底とみなし、そこを  $Q_{th}$  とする。ただし図14でスロット  $a$  とスロット  $b$  の間のような局所的な谷につまらないように頻度の累積が  $a$  に達するまでは何もしないようとしてある。図14の例ではスロット  $C$  で初めて累積が  $a$  に達するため、そこから始めて最初に見つかった谷の底  $f$  の位置がしきい値  $Q_{th}$  となるのである。一番左のスロット ( $Q_{ij}=0$  を含むスロット) 以外の累積が  $a$  に達しない場合は、左から2番目のスロットの中央値を  $Q_{th}$  とする。なおスロット数は 50 とした。

### 2-3-3. 更新手順

こうして選び出された  $J$  を使って  $i$  についでのモデルを更新する。手順を図15に示す。図16はその一部を図示したものである。

①  $(X_{sj}^{(k)}, Y_{sj}^{(k)})$  ( $j \in J$ ) に対する  $Q_{ij}$  を重みとして主成分分析を行ない主軸を算出する。この主軸の方程式を  $i$  に対応する心線の方程式の更新値 ( $P_i^{(k+1)}$ ,  $D_i^{(k+1)}$ ) とする。(図16(a) 参照)

②  $j$  の位置と  $i$  で求めた主軸との距離を  $Q_{ij}$  を重みとして加重平均し、これをひから心線までの距離の更新値  $D_i^{(k+1)}$  とする。(図16(b) 参照)

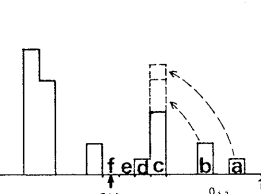


図14.  $Q_{th}$  の決定法

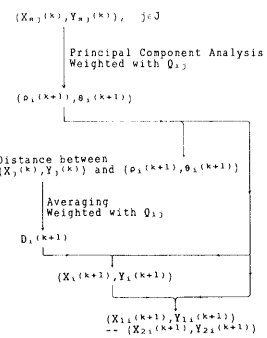


図15. モデルの更新手順(その1)

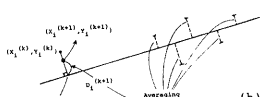
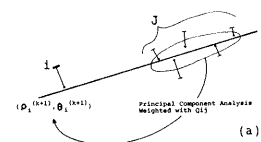


図16. モデルの更新手順(その2)

(a):  $(P_i, Q_i)$ , (b):  $D_i, (X_{sj}, Y_{sj}), (X_i, Y_i)$

③  $(P_i^{(k+1)}, \theta_i^{(k+1)})$ ,  $D_i^{(k+1)}$  とつじつきの合うようないの位置を動かす。すなわち  $(X_i^{(k)}, Y_i^{(k)})$  から主軸に下した直線の足  $(X_{Si}^{(k+1)}, Y_{Si}^{(k+1)})$  から  $(X_i^{(k)}, Y_i^{(k)})$  の方向へ  $D_i^{(k+1)}$  だけ伸ばした点を  $(X_i^{(k+1)}, Y_i^{(k+1)})$  とする。(図16(b)参照)

④ 棒状物体の両端座標の更新値  $(X_{1i}^{(k+1)}, Y_{1i}^{(k+1)})$ ,  $(X_{2i}^{(k+1)}, Y_{2i}^{(k+1)})$  は原画に戻して計算します。方法は初期値を割り当てたときと同じである。(図9) ただし  $D_i$ ,  $(P_i, \theta_i)$  としては  $D_i^{(k+1)}$ ,  $(P_i^{(k+1)}, \theta_i^{(k+1)})$  を用いる。

$J$  を使って主成分分析で算出した心線方程式はかなり信頼できるものである。よって図15のように他のすべてのパラメータを更新する際、必ず  $(P_i^{(k+1)}, \theta_i^{(k+1)})$  を参照するようにしたのである。

注目している  $i$  に対して選び出された  $J$  の要素数 ( $N_j$ ) が多いほど、更新された  $i$  のモデルは信頼できるはずである。よって  $P_j$  は次式で更新する。

$$P_j^{(k+1)} = \min \left\{ 1, \max \left( 0, \frac{N_j - 1}{N_{th} - 1} \right) \right\} \quad (4)$$

$N_j$  が  $N_{th}$  以上になれば、モデルは十分信頼できるとみなされ  $P_j^{(k+1)} = 1$  となる。本実験では  $N_{th} = 10$  とした。

場合によっては 2-3-2 節の方法では  $N_j$  が 1 以下ということも起こり得る。これでは正しい更新は行なわれないため、この場合は  $P_j > 0$  となる  $j$  について  $i$  に最も距離の近いものとその次のものを探し出し、その 2 つを自身を  $J$  の要素として本節の②③④に従ってモデルの更新を行なう。このとき  $Q_{ij} = 1$  とし重みは均等にした。 $P_i^{(k+1)}$  は 0 とする。

以上の更新操作をすべての  $i$  について行ない、それを繰返すのである。

#### 2-3-4. 収束の様子

図17、図18に収束の様子を示す。図17は、図7の輪郭点#15に関する  $Q_{ij}$  のヒストグラムの変化の様子とそれだけで自動的に決定された  $Q_{th}$  を示したものである。繰返しを進めるにつれて 3 本の鋼鐵維(図1(b)参照)に相当する強いピークにまとまっていく様子がよくわかる。 $Q_{th}$  も図13よりおおむね最初のピークを切り出すようにうまく設定されている。

図18はモデルの収束の様子を示したものである。輪郭点  $(X_i^{(k)}, Y_i^{(k)})$  と線分  $(X_{1i}^{(k)}, Y_{1i}^{(k)})$ ,  $(X_{2i}^{(k)}, Y_{2i}^{(k)})$  を、 $P_i^{(k)}$  が大きいほど黒くなるように表示した。輪郭点、心線とも繰返しを進めるにつれて極めて正確に本来の場所に収束していく様子がよくわかる。初期値が正しくない位置にさしてしまっている線に伸びた鐵維が、やや傾いた形に正しく収束し、また初期値のはらつきが大き

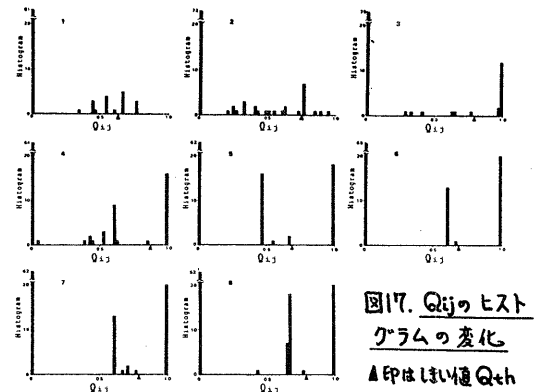


図17.  $Q_{ij}$  のヒストグラムの変化  
▲印はしきい値  $Q_{th}$

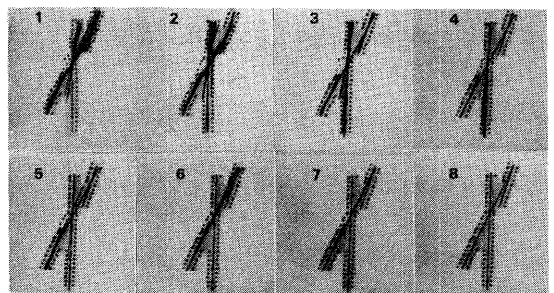


図18. モデルの収束の様子  
■:  $(X_i^{(k)}, Y_i^{(k)})$ , —: 線分  $(X_{1i}^{(k)}, Y_{1i}^{(k)})$ ,  $(X_{2i}^{(k)}, Y_{2i}^{(k)})$

きった左下の鋼鐵維も右上の鐵維とは分離して正しく収束した。

収束特性は極めて良好であり、繰返し 8 回以降はモデルの値にはほとんど変化が見られない。そこで輪郭点の位置の変化が更新前後である範囲に収まつた時点で収束終了と判定するようにした。具体的には次式の  $ERR(i)$  がすべての  $i$  について 0.1 画素以下になったときをもって収束終了と判定した。

$$ERR(i) = |X_i^{(k+1)} - X_i^{(k)}| + |Y_i^{(k+1)} - Y_i^{(k)}| \quad (5)$$

図18の例では繰返し 8 回後に収束終了と判定された。

#### 2-3-5. クラスタリング

収束したモデルを「クラスタリング」することによって重なり合った棒状物体を分離することができます。モデルは既に鏡く本来の値に収束しているため「クラスタリング」は簡単な方法で行なえばよい。ここでは、座標  $(P_i \cos \theta_i, P_i \sin \theta_i)$  間の距離が 1 画素以内にあるものはすべて同じクラスターとする方法を用いた。以下  $P_i, \theta_i, X_i, Y_i, X_{Si}, Y_{Si}, P_i$  はすべて収束終了後の値とする。

クラスタリングされたそれぞれの棒状物体の心線の方程式は  $(X_{Si}, Y_{Si})$  を  $P_i$  を重みとして主成分分析して算出した。また、 $(X_i, Y_i)$  からこの心線への距離を  $P_i$  を重みとして加

重平均した値の2倍を  
棒状物体の幅とする。

棒状物体の両端座標としては $(X_{1i}, Y_{1i})$ と $(X_{2i}, Y_{2i})$ を使う。

もといが、輪郭点の存在する部分までしか物体は伸びてないといふ方が妥当であろう。そこで 図19のようになにかから心線ABに垂線を引いてA'B'を求めてそれを両端座標とする。

図20が最終的な分離結果である。局所的に2個程度の輪郭点で収束してしまったものは信頼できない表示している。長さ、幅、向きのいずれもほぼ正しくまとまっている。

図21は、図7の輪郭点が最終的にどう分割されたか示すものである。3本の鋼纖維それぞれに相当する記号で表示した。これを見てもほぼ

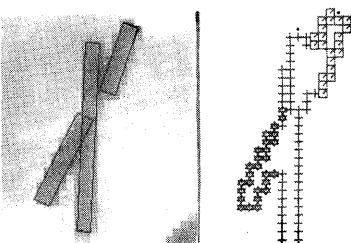


図19. 棒状物体の両端の座標の求め方

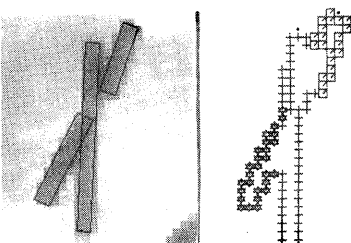


図20. 分離結果

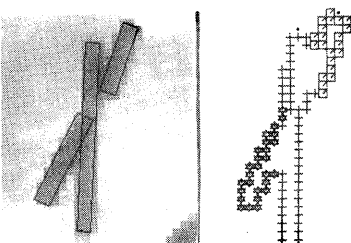


図21. 輪郭点の分割

妥当な分離結果であると言える。なお、この場合2点だけ3本のいずれにも属しない輪郭点があった。これはこの2点だけで1つの棒状物体として局所的に収束してしまったものである。(■で表示した。)

### 3. 全画面に対する処理

全画面(今回の実験では $128 \times 128$ 画素)に散らばっている棒状物体を処理する場合にも2-1節(1)と同じ手順でまずマスクを作成してデータを抽出する領域を限定する。このマスク内で2章と同じ処理を行なえばよい。しかし、アルゴリズムの性格上、データ数が多い場合はそれを一度に処理するのは能率が悪い。また、計算機(HP2112ミニコンを使用)の容量からくる制限により128点を超える輪郭点を主記憶の中に収めて処理することはできない。

よって、輪郭点を100点程度のサブクラスタに分割してからそれについて2章の処理を行なうようにする。個々のマスク内で抽出した輪郭点数が少なければ、それをサブクラスタとすればよいし、場合によつては2つ以上のマスクの輪郭点を合せてよいであろう。問題となるのは連結した1つのマスク内の輪郭点数が128を超えてしまう場合である。(ex. 図1(a)の左上の塊) このときには何らかの方法で輪郭点を100点前後のサブクラスタ

に分割しなくては処理することができない。しかもその際、同じ棒状の輪郭点はできる限り同じサブクラスタに属するようにしなくてはいけない。細長い対象物であるため粒度の場合[8]と比べてはるかに難しいということは容易に想像できる。単に輪郭点の位置や、心線に下した垂線の足の位置の初期値を使ってサブクラスタ分割を行なうだけでは同じ物体の輪郭点が違うサブクラスタに別れてしまうことが頻繁に発生した。そこで以下の手順でサブクラスタ分割を行なった。

①  $(X_{si}^{(0)}, Y_{si}^{(0)})$  が近いものを順にまとめ、輪郭点を100点程度のサブクラスタに分割する。

② 各サブクラスタに対し更新プロセスを6回実行する。

③ 棒状物体の中心座標  $((X_{1i}^{(0)} + X_{2i}^{(0)})/2, (Y_{1i}^{(0)} + Y_{2i}^{(0)})/2)$  の近いものをまとめることにより再び輪郭点を100点程度のサブクラスタに分割する。

④ パラメータを初期値に戻す。

ある程度繰返しが進んだ段階では、中心の座標が各棒状物体ではなく近い場所に集まって来るのを利用した手法である。このようにして分割された各サブクラスタに対し最終的に繰返しプロセスを収束終了まで繰返すのである。実験結果については次章で述べる。

### 4. 実験結果及び考察

まずいろいろな重なり方の鋼纖維像に対し2章と同じ処理を試みた。結果を図22~図26に示す。それより原画像、分離結果、輪郭点の分割結果の順に表示した。しきい値等のパラメータは、鋼纖維に対する実験ではすべての場合で2章で用いたのと同じ値を使った。すなち、

・抽出した輪郭点は  $P_i^{(0)} \geq 0.5$

・ $D_i^{(0)} = 1$  (画素) ) 図9参照

・ $e = 0.5$  (画素)

・ $B_{th} = 200$  2-2節参照

・ $N_{th} = 10$  式(4)参照

・収束終了判定しきい値 = 0.1 (画素)

・輪郭点数が5以上上の棒状物体のみを表示。

図22と図23はどちらも比較的簡単な重なり方の例である。これらの場合はねじめて正確にモデルは収束し、輪郭点も完璧に分割されている。図24は非常に細くて濃淡のはっきりしない纖維の例である。糸の纖維は細く、しかも輪郭点はときれときれにしか抽出されていない。それでもモデルは正確に収束している。ただし先端附近まで十分に輪郭点が抽出できなかったため、やや短めの分離結果となっている。図25は、ほぼ平行に近い2本が重なっている場合である。この場合も、ほぼ正確な分離結果が得られている。図26は、やや太い纖維の先端に短

い繊維がくつついでいる例である。この場合は他の例と比べて非常に繰返しの回数が多くいた。それでも最終的には太い繊維をうまく検出し、短い繊維と分離することができた。

どの例も画像としては極めて分解能の低いデータである。それにもかかわらず良好な結果が得られた。

図27は輪郭点数が多く(600以上)、3章で述べたようにしてサブクラスタ分割処理を行なわなくてはいけなかつた例である。図27の右側に分離結果を示す。細くて長い繊維もかなり正確に検出している。この画像は繊維像の濃淡レベルにかなりの差があり、細長くやや明るい繊維をうまく切り出せるよろしきい値を使うと、つながってはいけない部分がつながってしまう。それが原因となって誤ったモデルに収束している部分もある。

本実験では棒状物体の両端座標を求めるときに使うしきい値  $B_{th}$  を全画面で一様にしてしまったため、濃淡レベルのはらつきが大きい画像に対しては誤りか起りやすい。この点については改善の余地がある。

最後に流れの可视化画像に対する処理例を示す。この画像(図26を参照)は鋼繊維像より分解能の高い画像である。よって鋼繊維の場合と同じ方法で輪郭点を抽出するとデータ数が多くなりすぎてしまい、場合によつては1つの棒状物体像(トレーサ像)の輪郭点でさら128点に収まらないこともあり得る。そこで微分オペレータ出力画像からその尾根点を抽出し、さらに  $P_i^{(0)}$

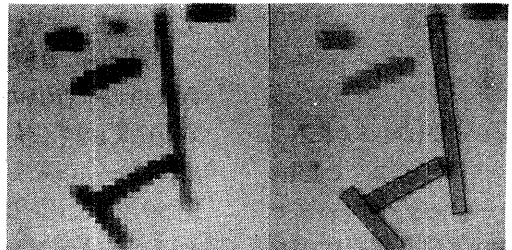


図22. 鋼繊維像(例1)

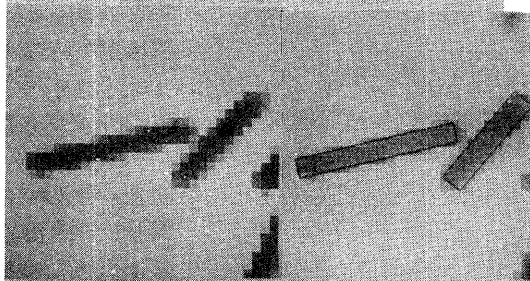


図23. 鋼繊維像(例2)

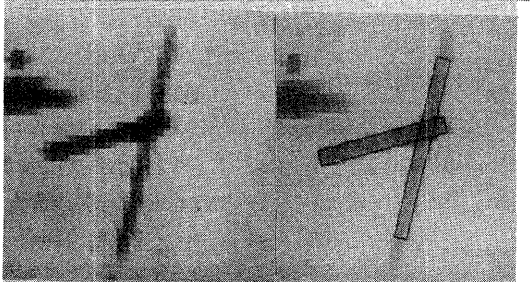


図24. 鋼繊維像(例3)

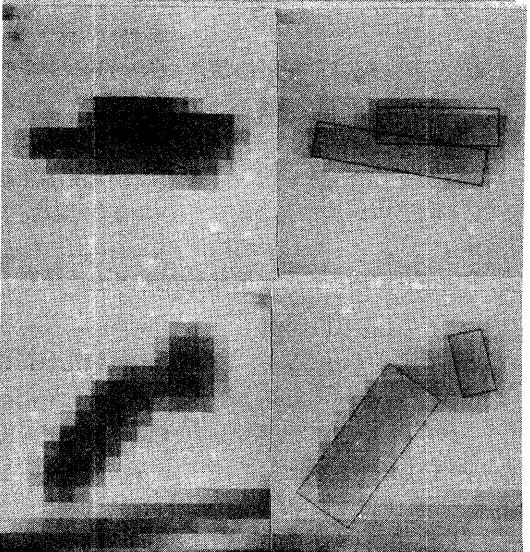


図25. 鋼繊維像(例4)

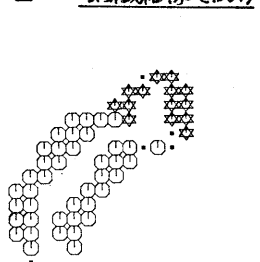


図26. 鋼繊維像(例5)

$\geq 0.5$  のものを選び出して輪郭点とする。

図28、図29、図30に分離結果を示す。画像の性質が異なるため、主に初期値設定段階におけるしきい値のいくつかは鋼繊維のときとは違つている。すなあち、

- $D_i^{(0)} = 2$  (画素)
- $e = 1$  (画素)
- $B_{th} = 100$
- 輪郭点数が 10 点以上の棒状物体を表示。

他は鋼纖維のときと全く同じである。ただし画面の端にかがっている物体は長さを測定する意味がないので処理を行っていない。かなり良好な結果が得られている。

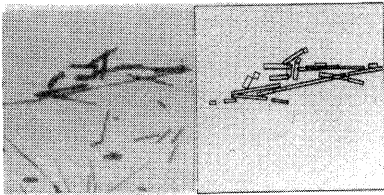


図27. 鋼纖維像(例6)

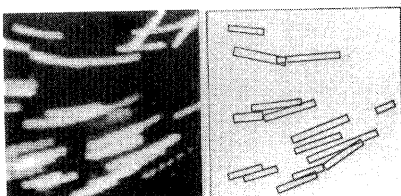


図28. 流れの可視化画像  
(例1)

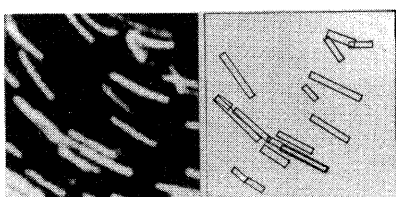


図29. 流れの可視化画像  
(例2)

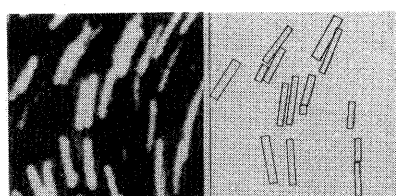


図30. 流れの可視化画像  
(例3)

## 5. おわりに

互いに重なり合った複数個の棒状物体像を繰返し演算によって分離し、それぞれの長さ、幅、向きを計測する手法について述べた。棒状物体像の例としては鋼纖維像、流れの可視化画像におけるトレーサ像を取り上げ、いろいろなタイプの重なり合った塊に対して実験を行なったところ良好な結果を得ることができた。データ数が、処理装置の能力を超える場合でも、繰返し演算をデータの大まかな分割のために利用することによりある程度解

決できることも示した。

本稿では、収束しクラスタリングした後のデータをさらに処理することは行なわなかった。収束したモデル、輪郭点の分割結果を重要な情報として考慮しつつ、さらに原画像に戻したり、対象についての先駆的知識（たとえばトレーサ像の向きは局所的にはほぼ一様）を利用してしたりすることによってより正確な結果を得ることができることを示すのである。

計算時間はかなりかかる。100点ほどデータにめぐらしモデルの更新を行なうのに 30~40 秒かかった。(HP21 12 ミニコン使用、データはすべて主記憶に収め、ディスクなどの補助記憶装置は一セク線返しプロセス内でば用いていない) これについてはソフトウェア的にも改良の余地があると考えられる。

最後に日頃御指導頂く尾上教授、坂内助教授、石塚助教授に感謝致します。

## 参考文献

- [1] 高木、小林、山王、富田，“鋼纖維補強コンクリートの X 線画像による解析(配向係数の測定)”，1976 年 TV 学会全国大会，1976 年 7 月。
- [2] 小林、石原、岩崎，“円柱まわりの流れの画像処理の一例”，第 8 回流れの可視化シンポジウム, PP. 115~118, 1980 年 7 月。
- [3] T. Kasvand, "Experiments on automatic extraction of paper pulp fibers," 4th IJCP, PP. 958~960, November 1978.
- [4] 高木、富田，“鋼纖維補強コンクリート画像の配向分布の測定”，79 年 TV 学会全国大会 14-9, 1979 年 7 月。
- [5] R.O. Duda and P.E. Hart, "Use of the Hough transformation to detect lines and curves in pictures," CACM vol. 15, pp. 11~15, 1972.
- [6] L.G. Shapiro and R.M. Haralick, "Decomposition of two-dimensional shapes by graph-theoretic clustering," IEEE Trans. vol. PAMI-1, no. 1, pp. 10~20, January 1979.
- [7] C.J. Hilditch, "Linear skeletons from square cupboards," In Machine Intelligence VI, B. Mertzger & D. Michie, Eds., University Press, Edinburgh, pp. 403~420, 1969.
- [8] 坂上、高木，“重なり合った粒子像の計測”，第 11 回画像工学シンポジウム 9-7, 1980 年 12 月。
- [9] G. Robinson, "Edge detection by compass gradient masks," CG&IP, vol. 6, no. 5, pp. 492~501, 1977.